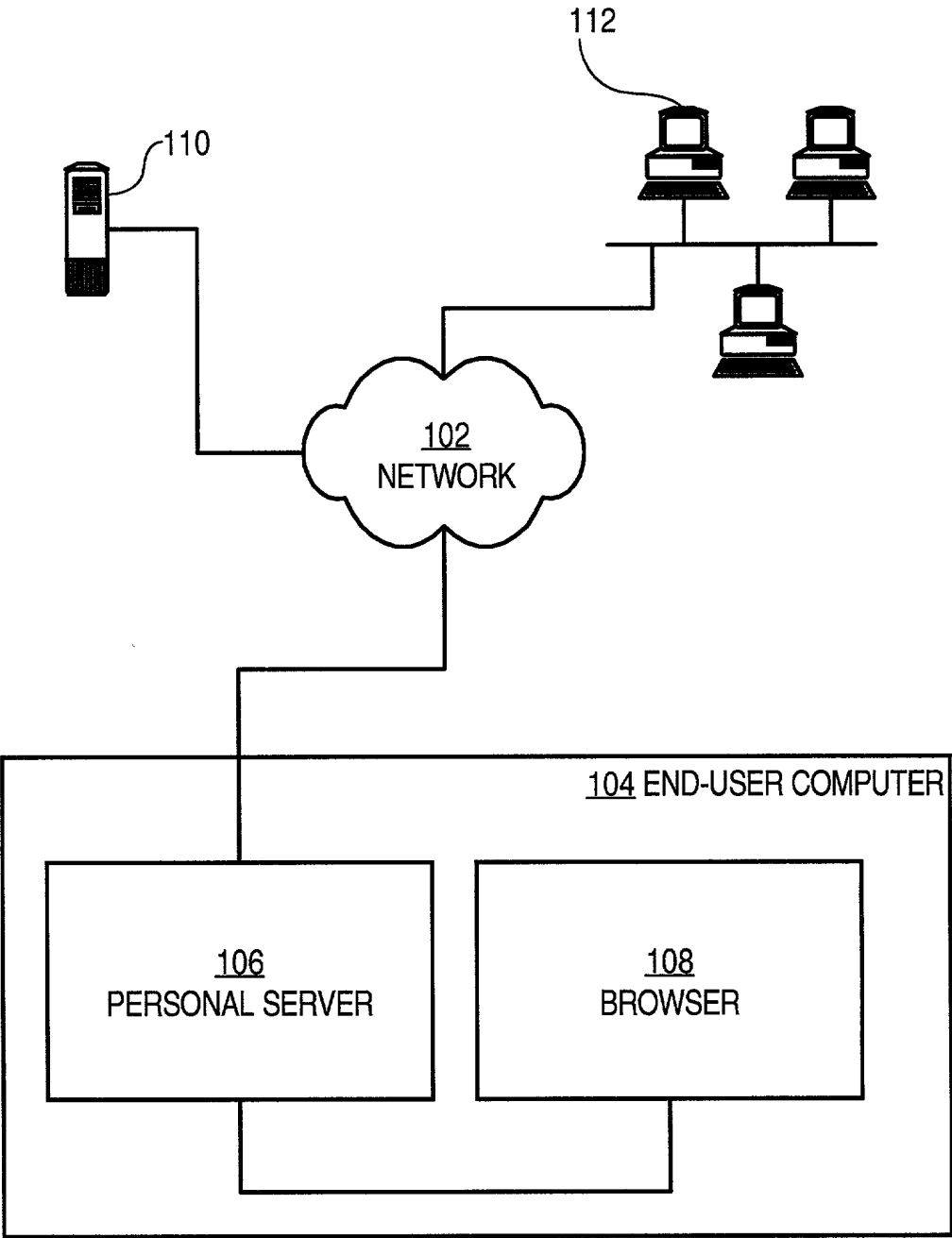


Fig. 1A



T06290-69002850

Fig. 1B

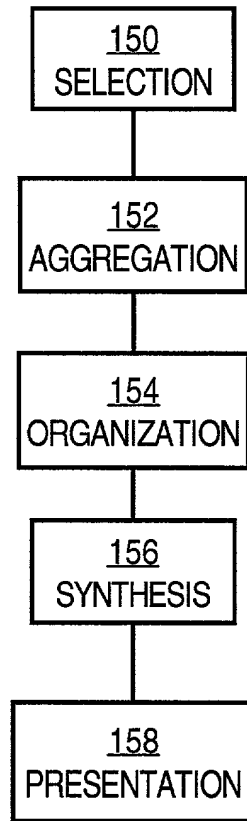


Fig. 1C

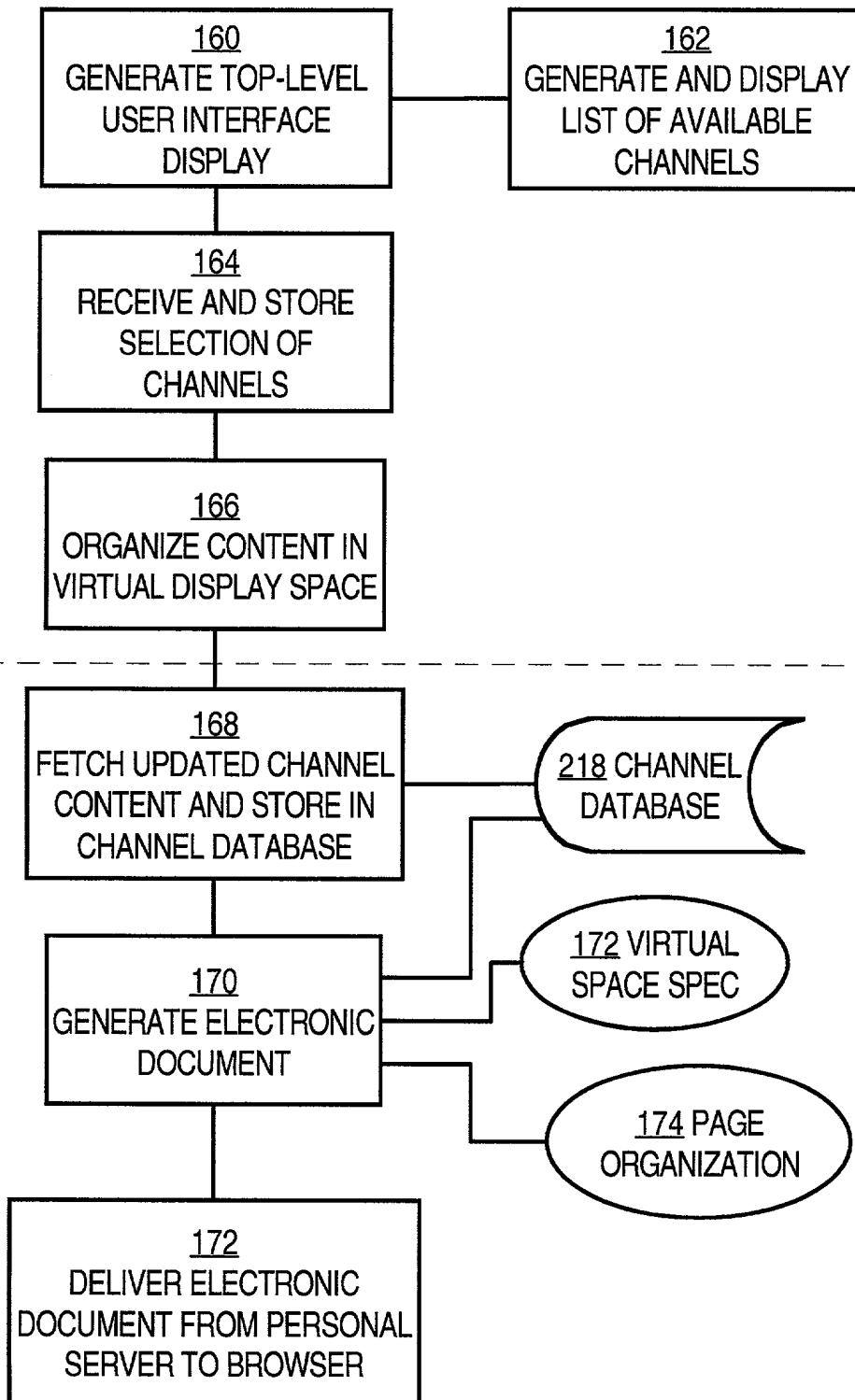


Fig. 1D

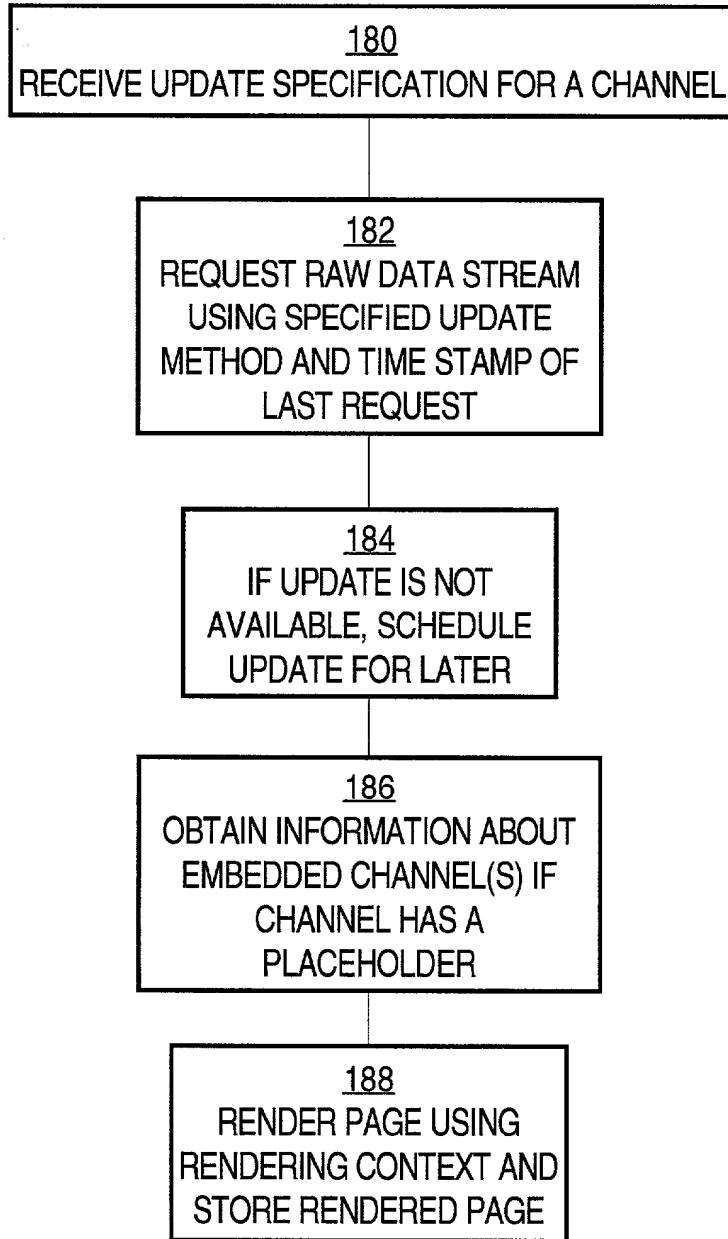


Fig. 1E

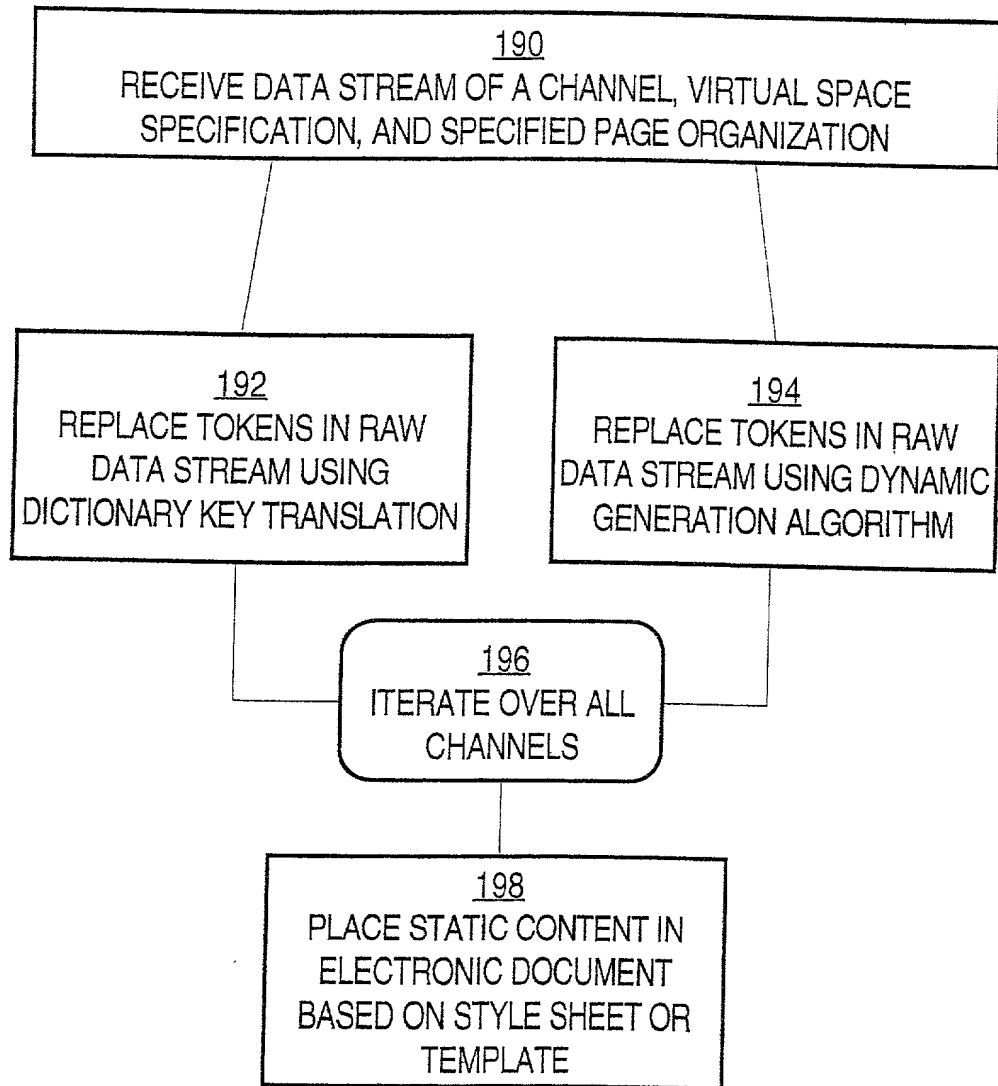


Fig. 2

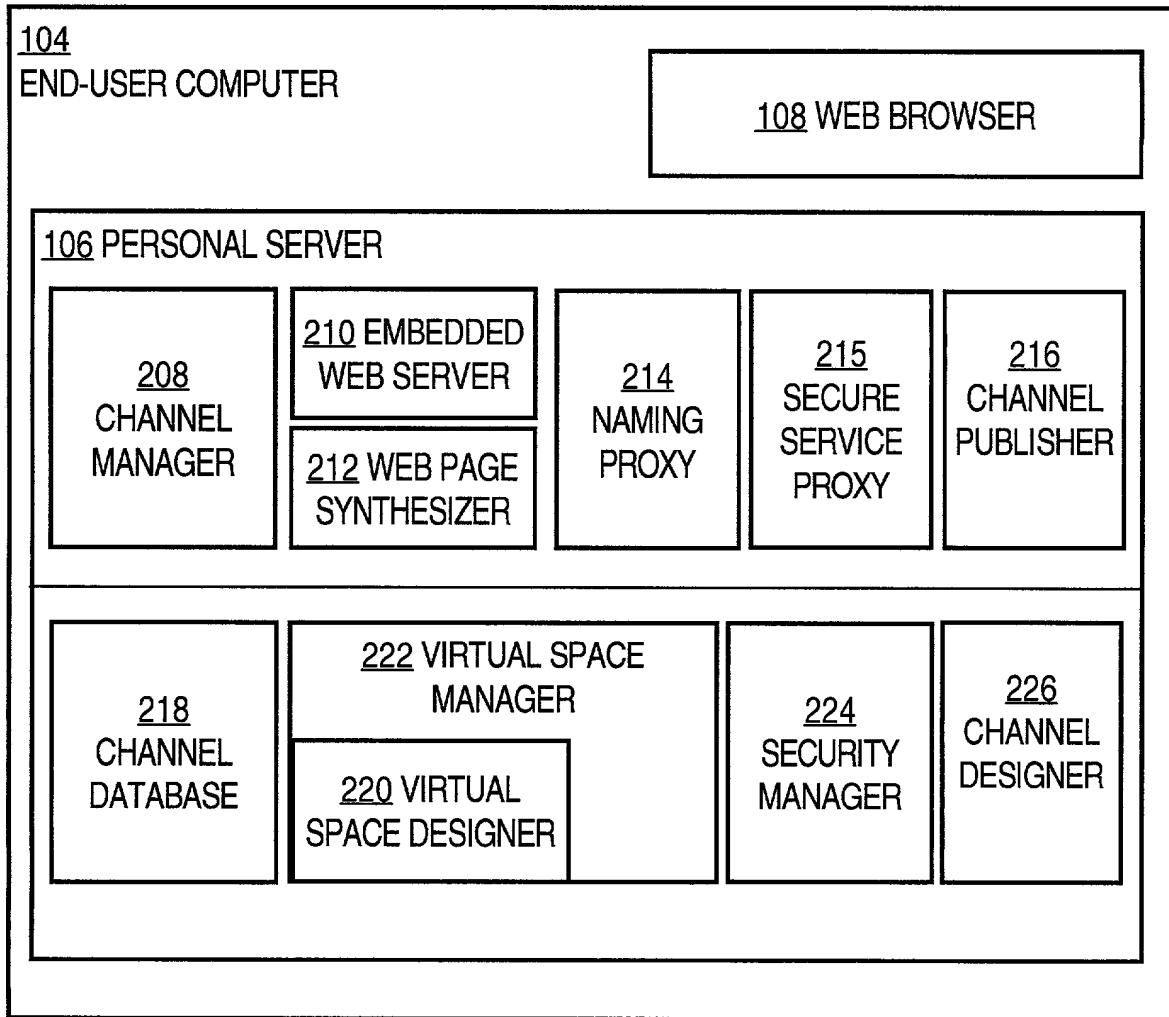


FIG. 2

Fig. 3A

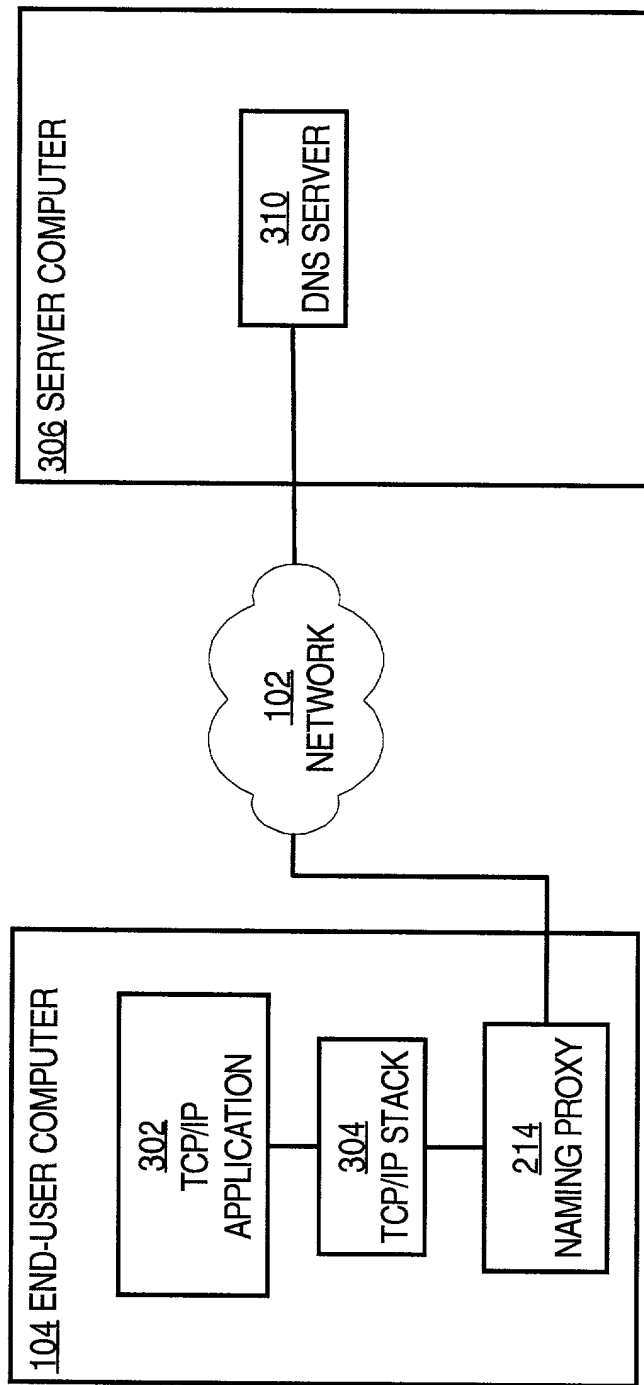


Fig. 3B

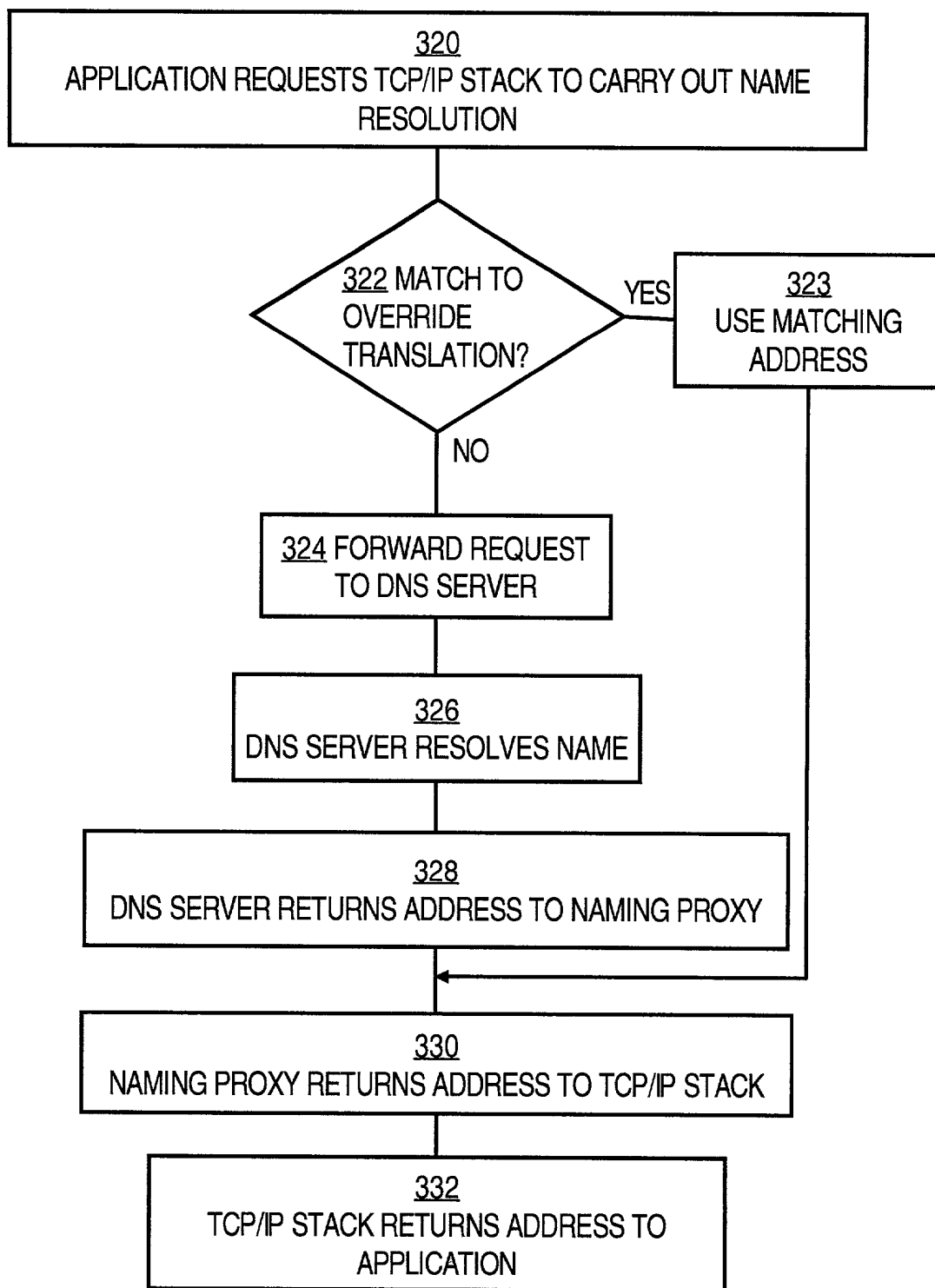


Fig. 4A

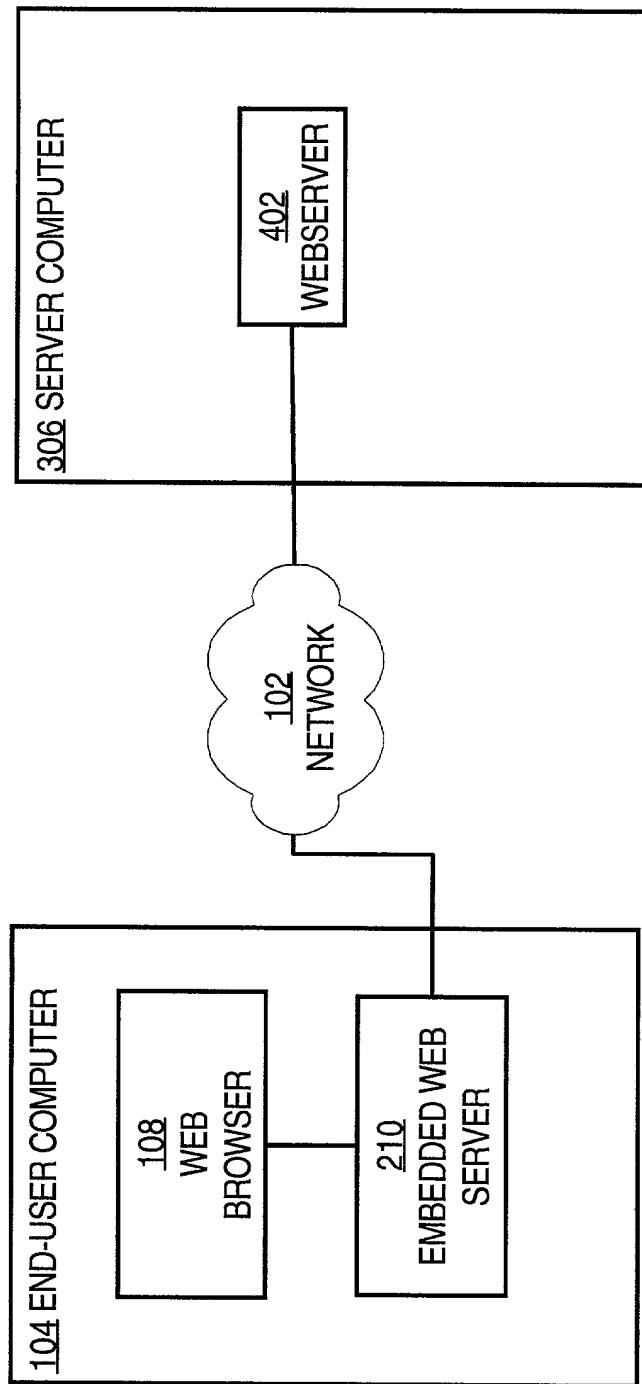


Fig. 4B

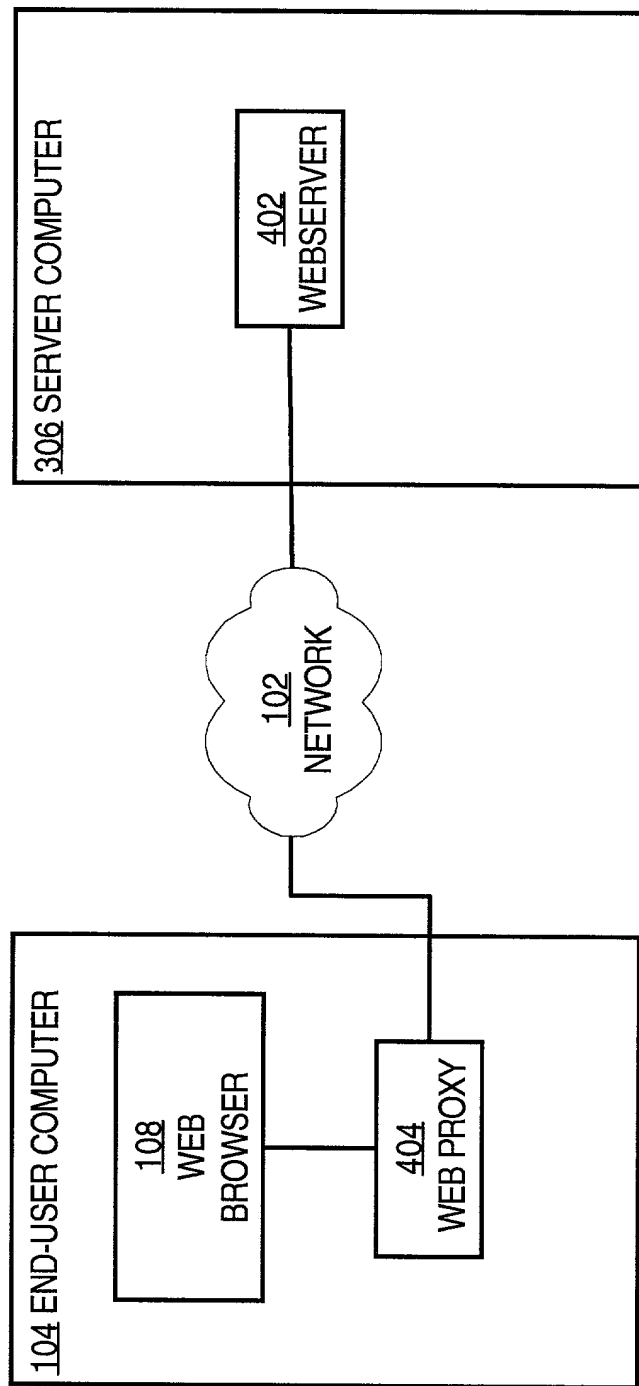


Fig. 5A

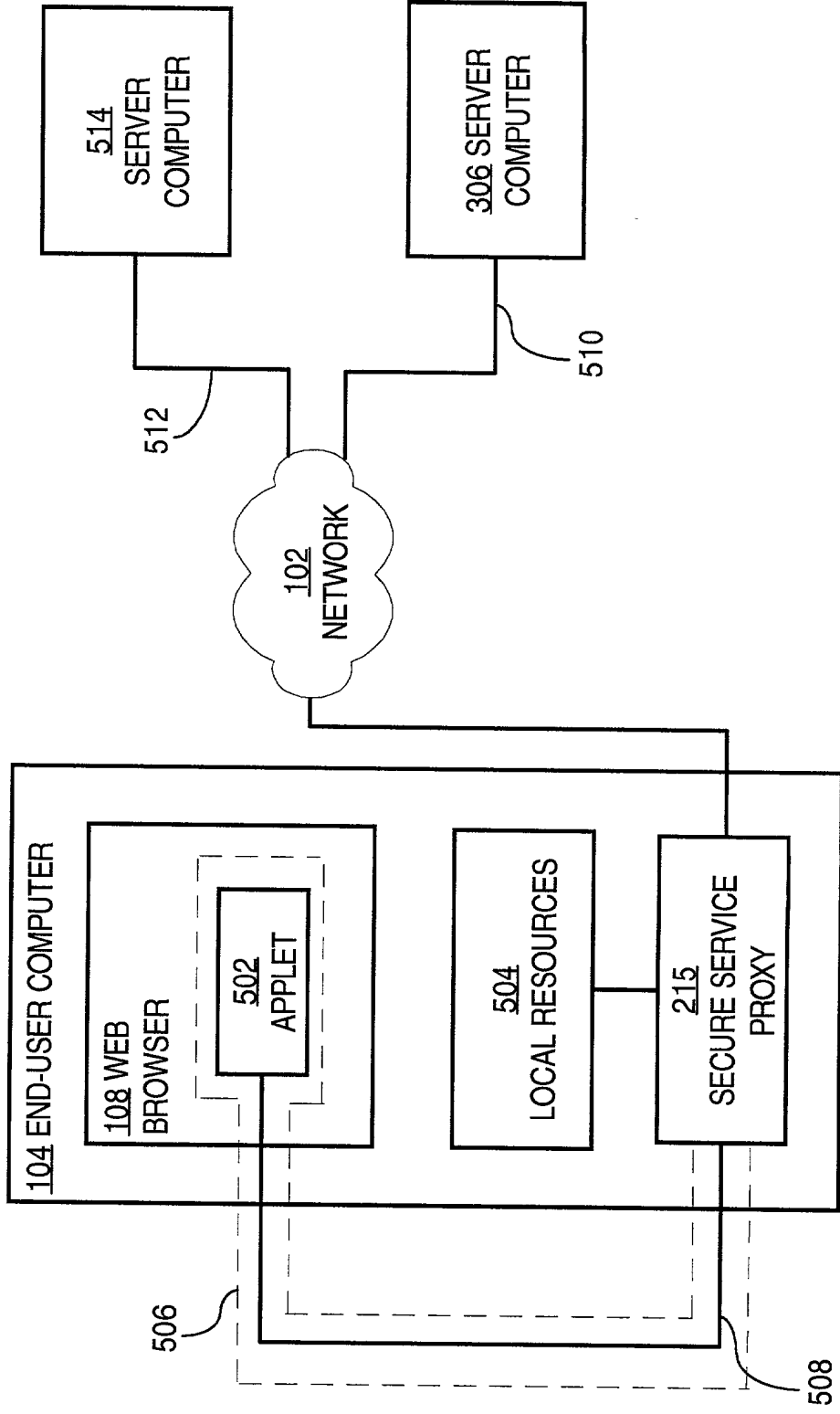


Fig. 5B

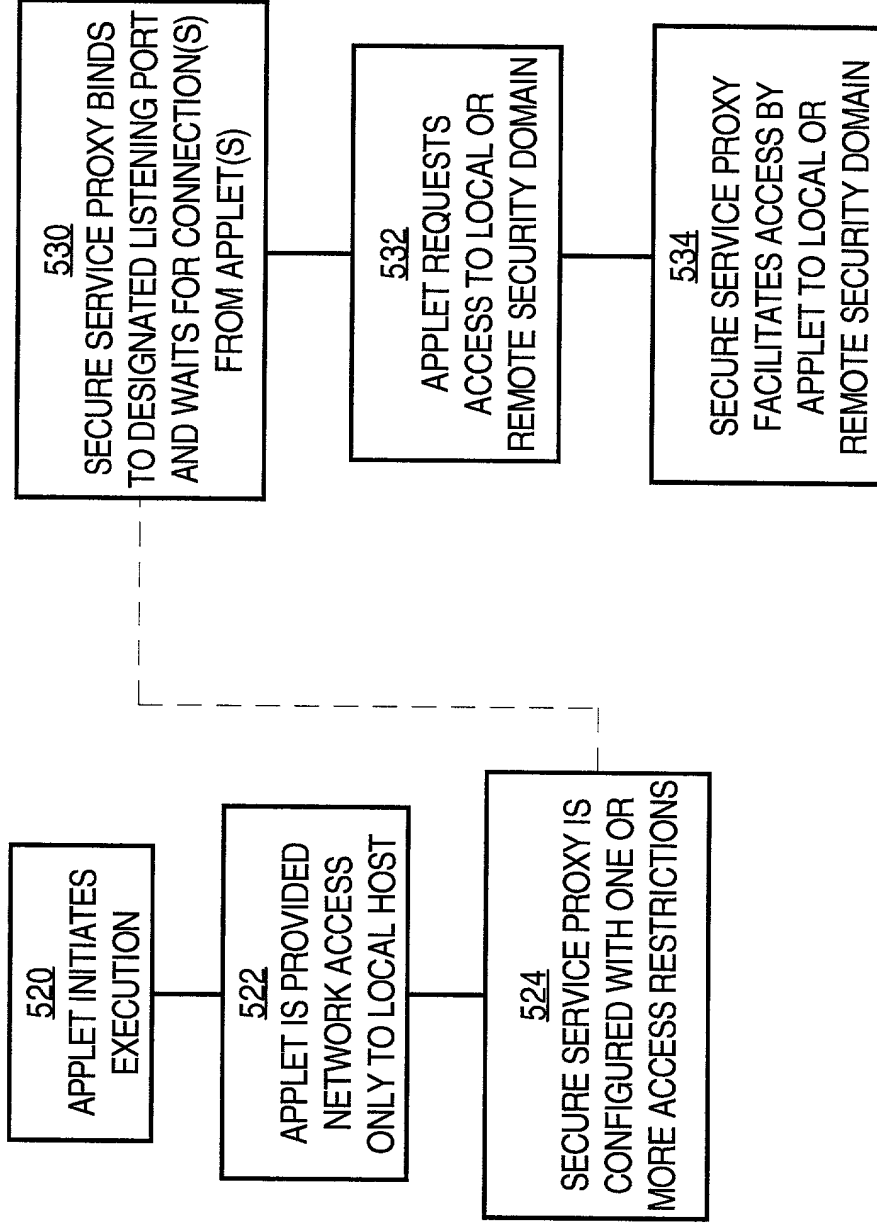


Fig. 6A

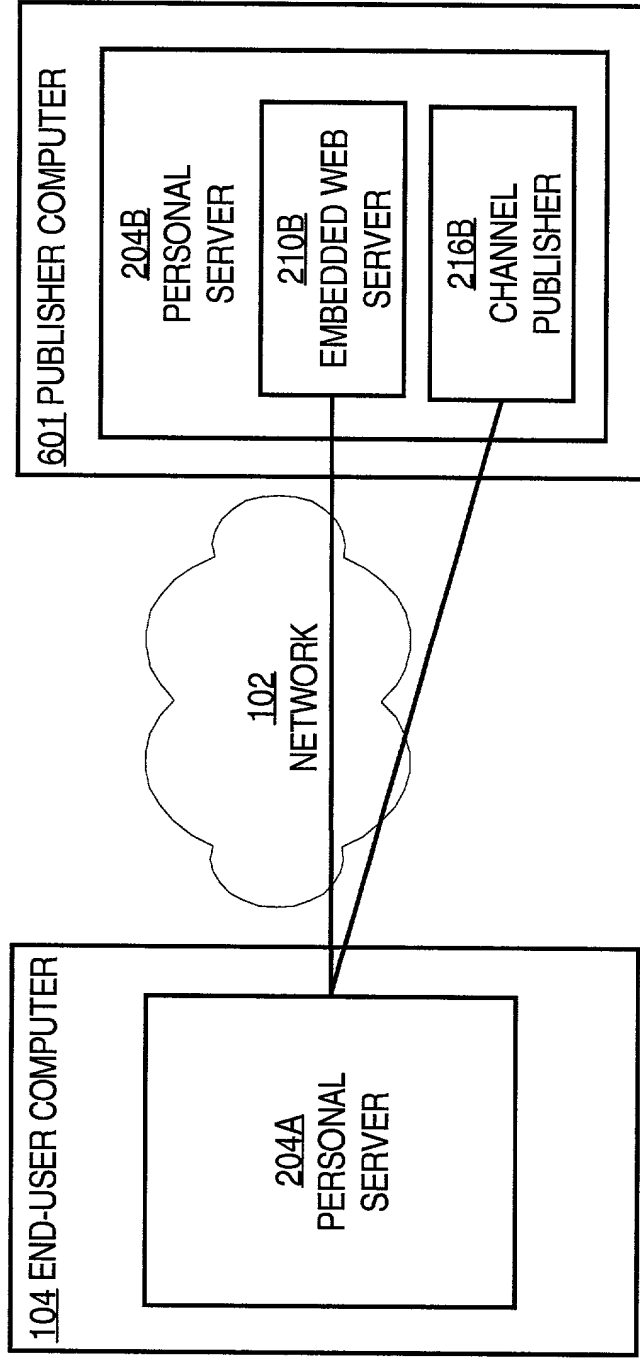


Fig. 6B

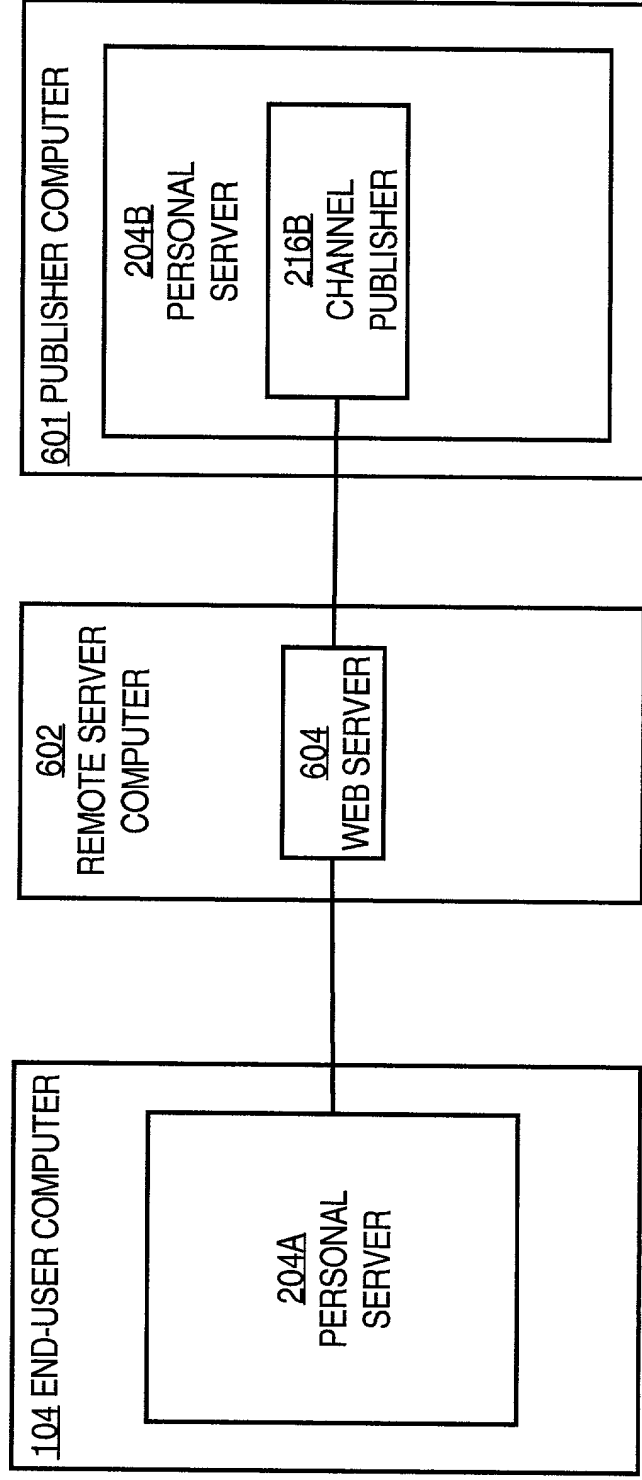


Fig. 6C

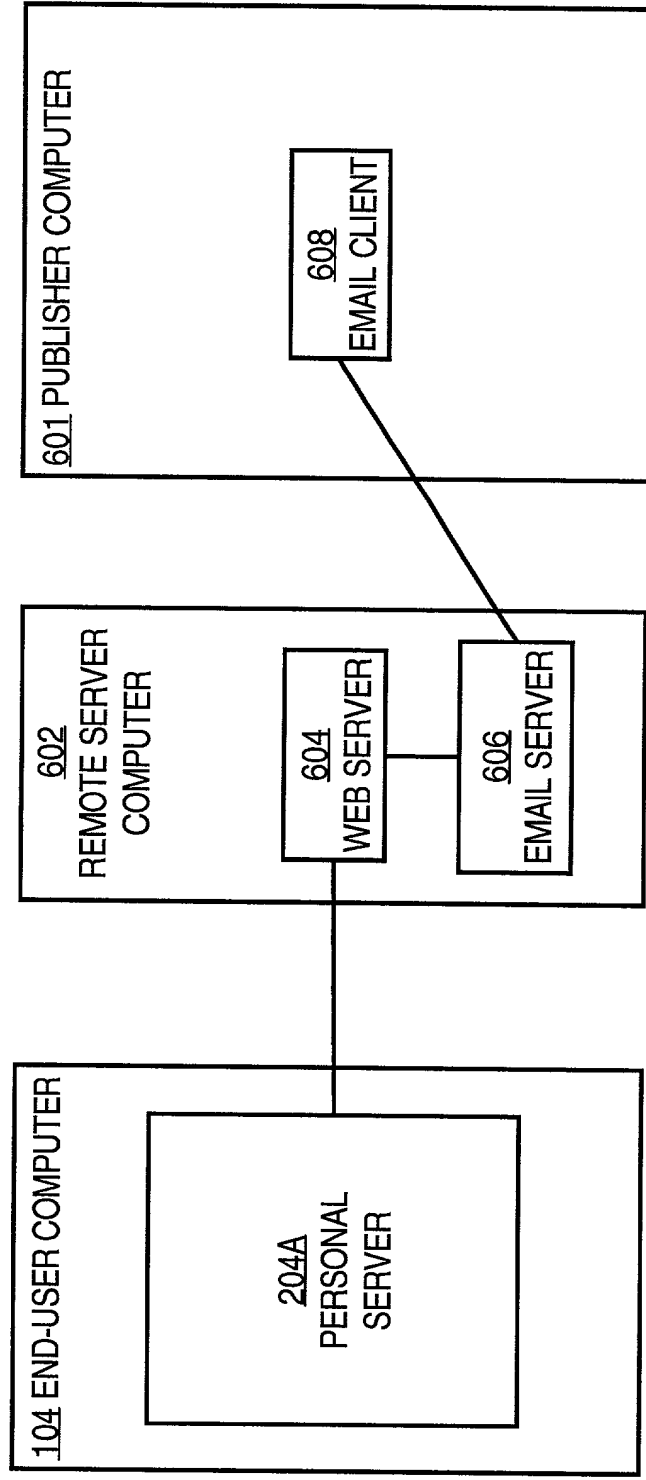


Fig. 6D

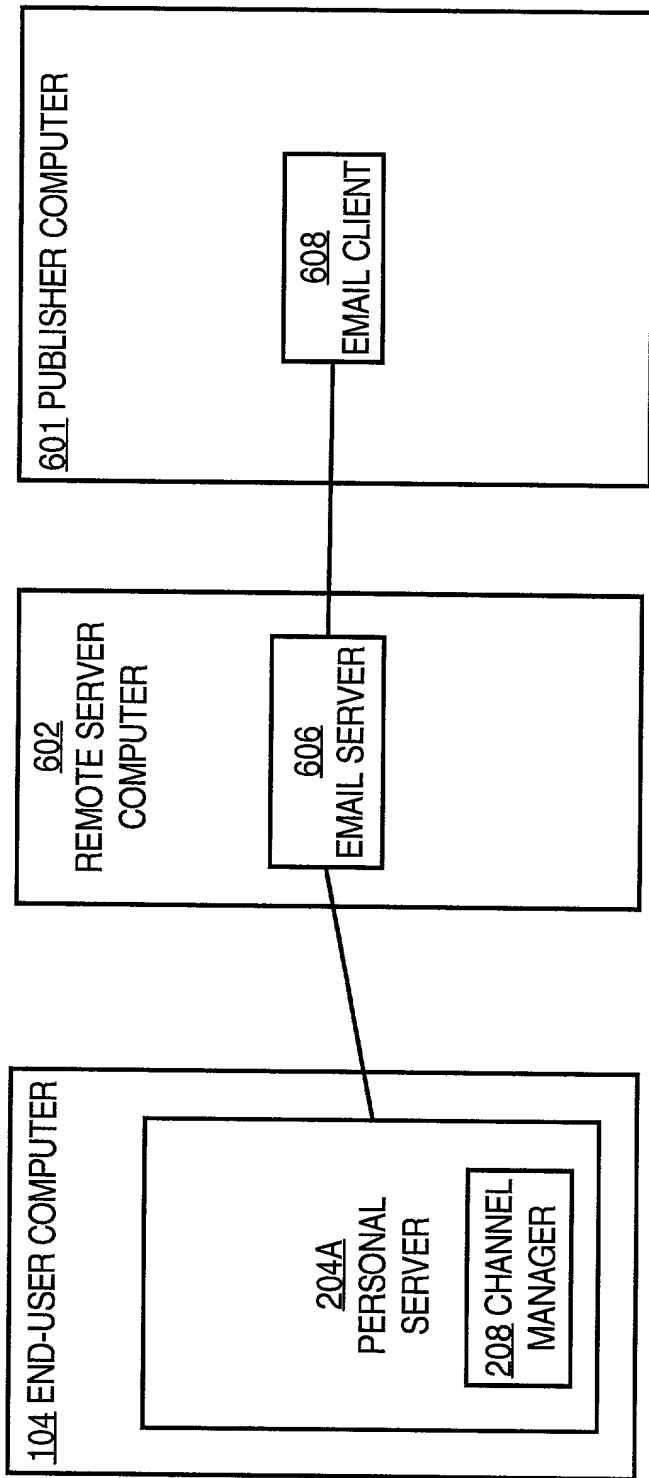


Fig. 7A

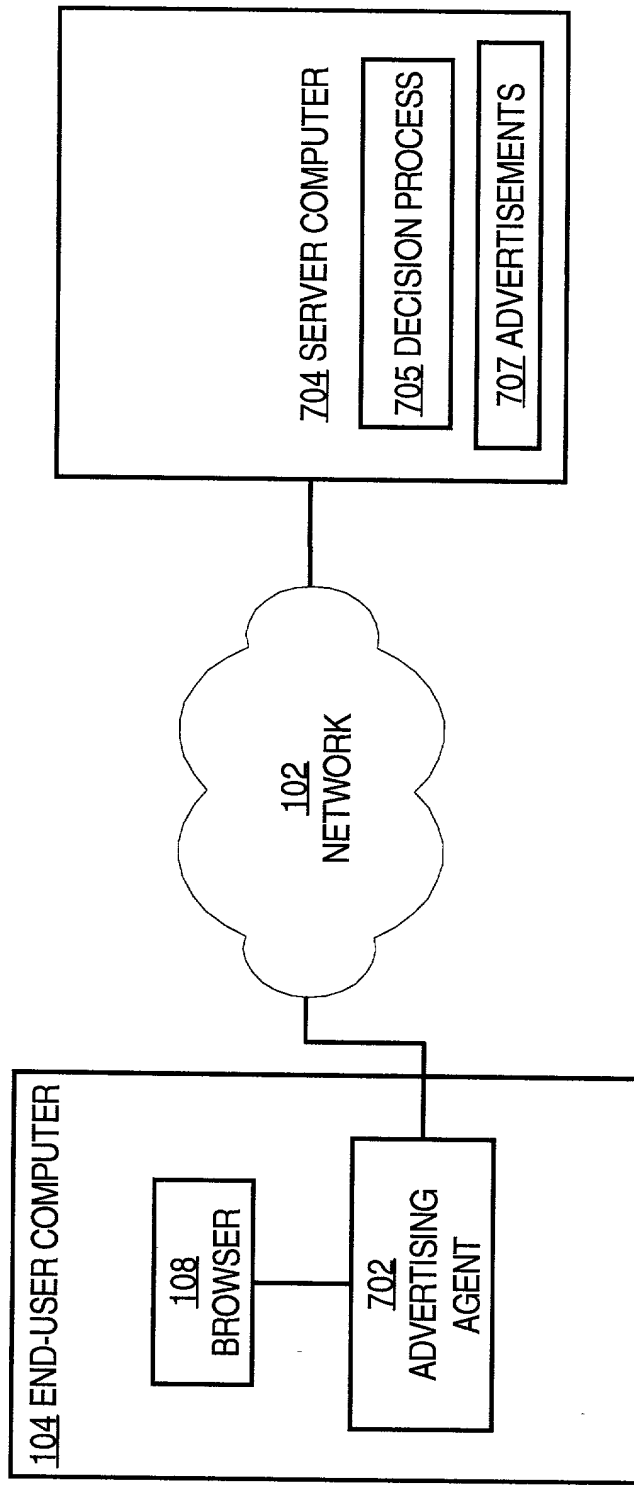


Fig. 7B

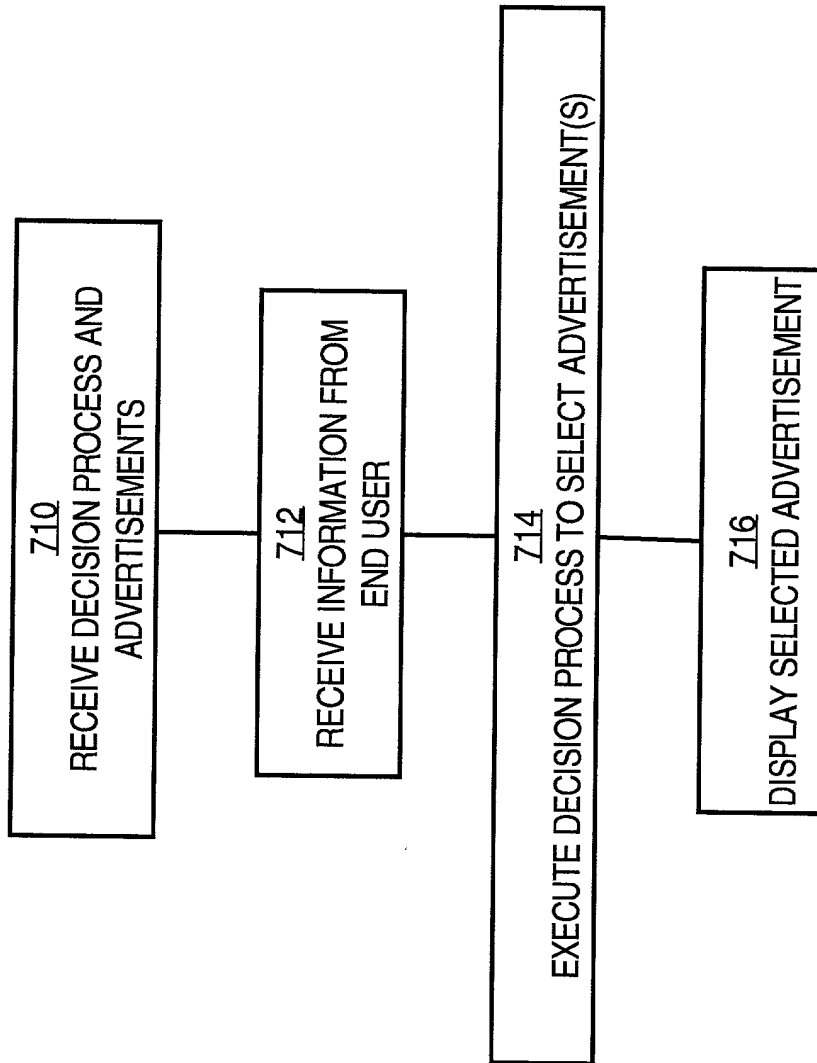


Fig. 7C

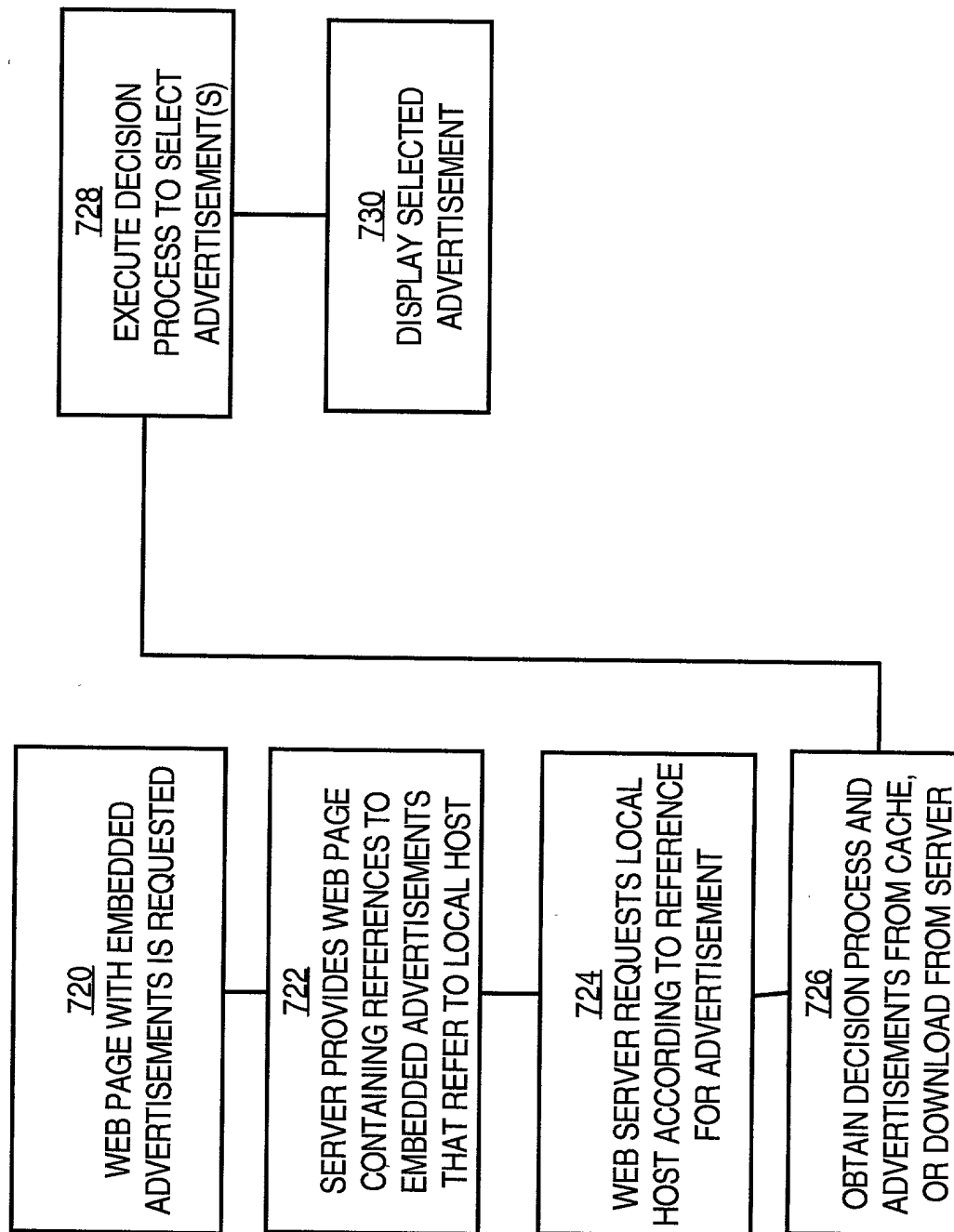
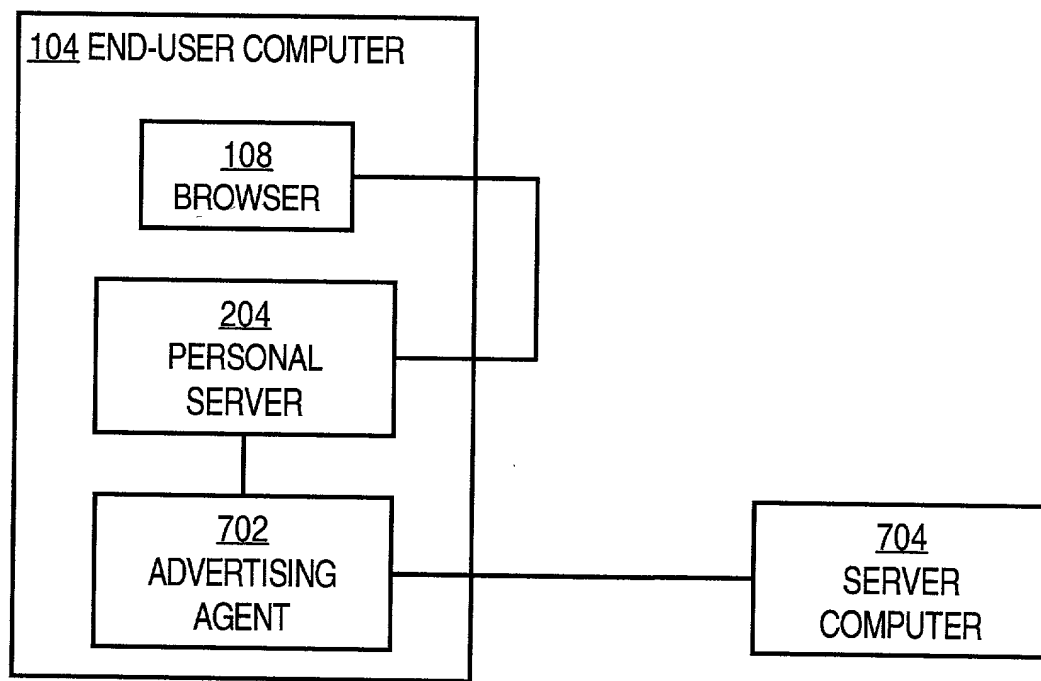


Fig. 7D



TOP SECRET

Fig. 7E

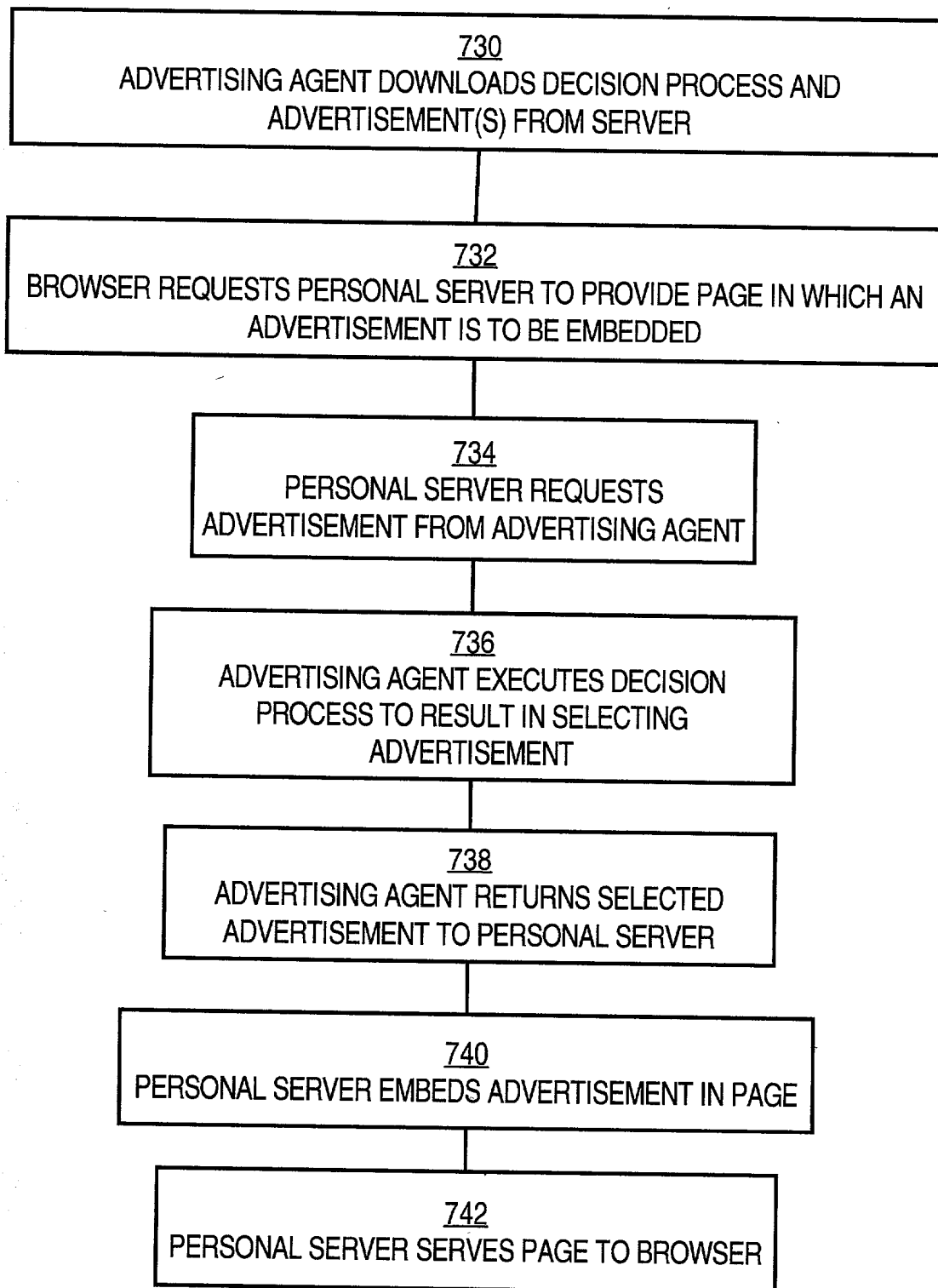


Fig. 8A

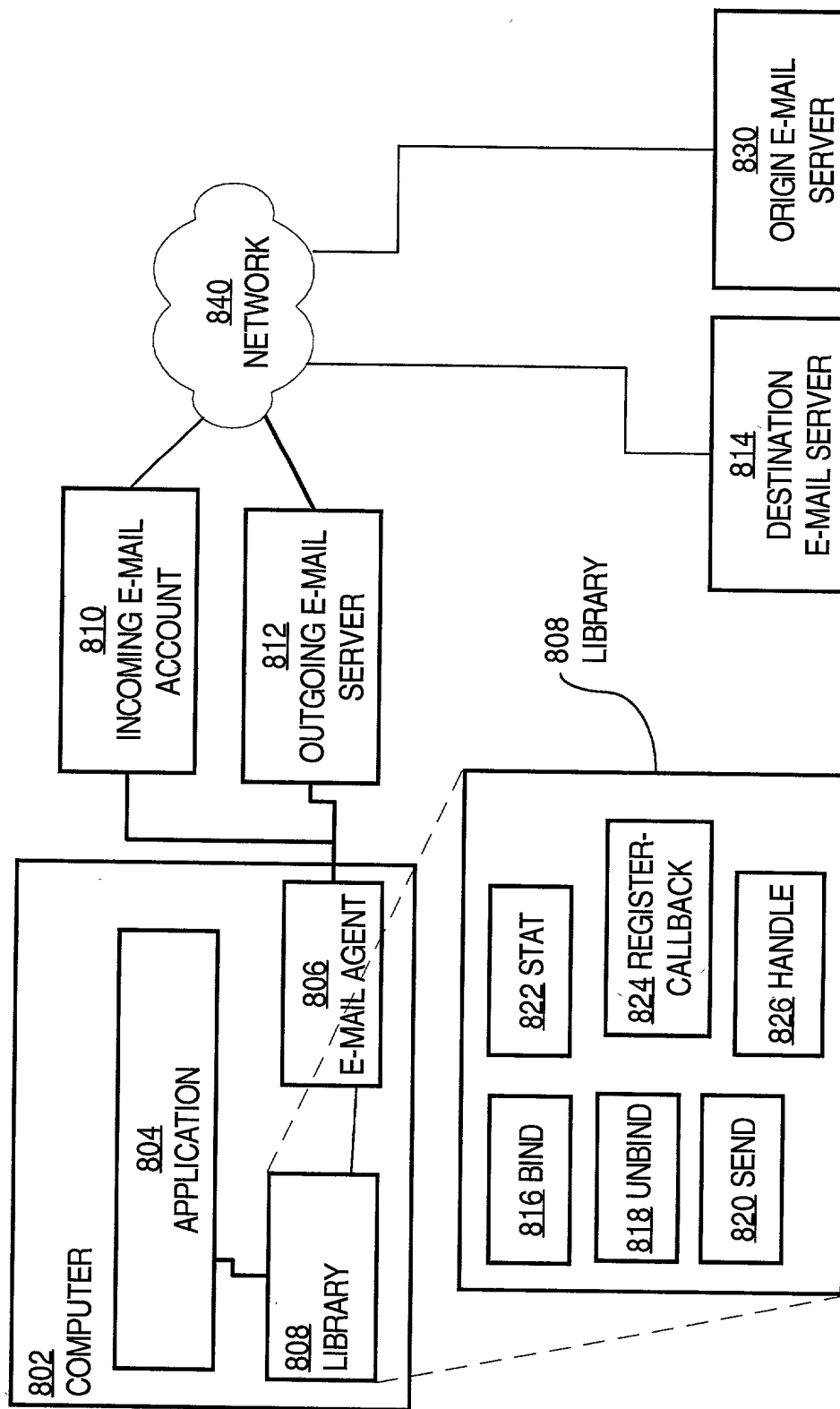


Fig. 8B

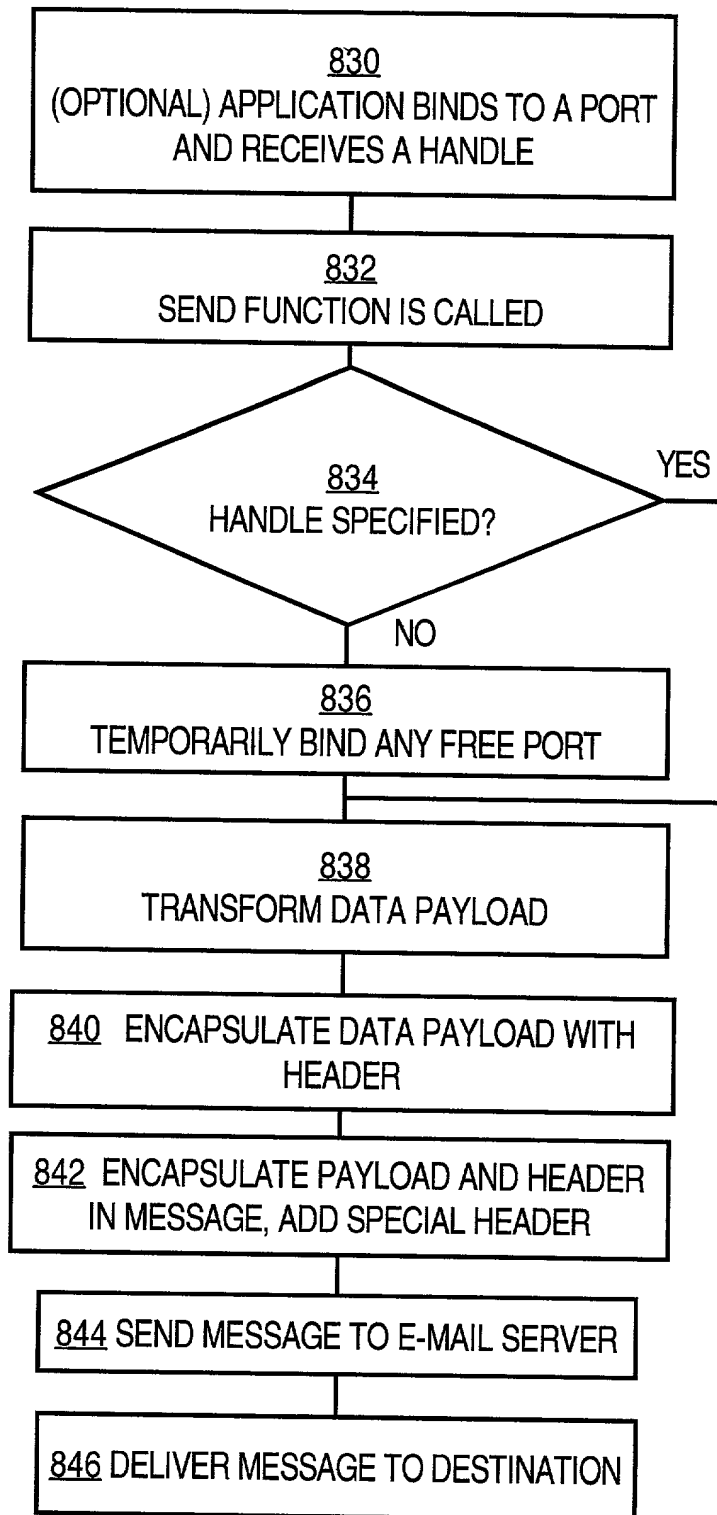


Fig. 8C

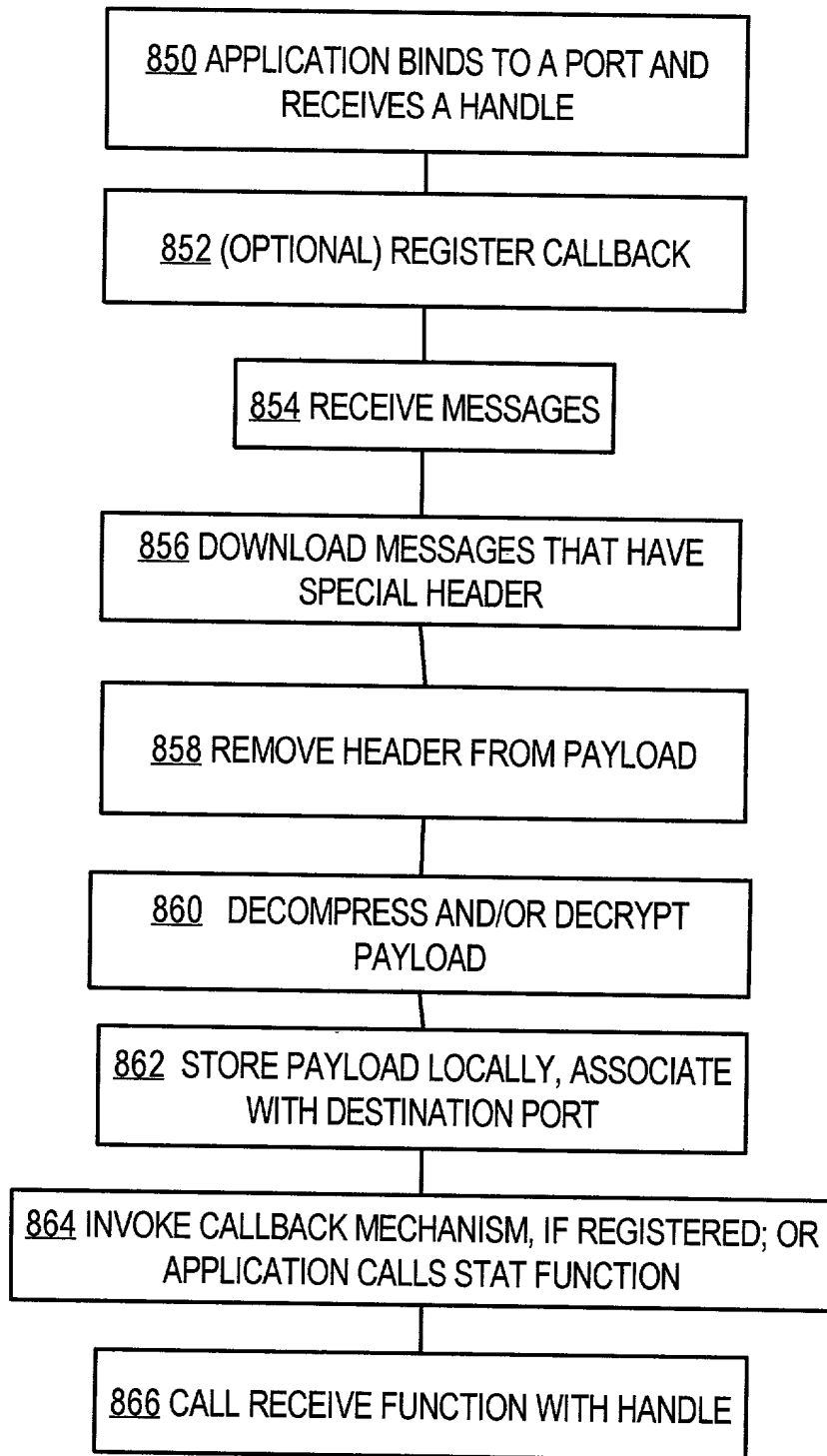


Fig. 9A

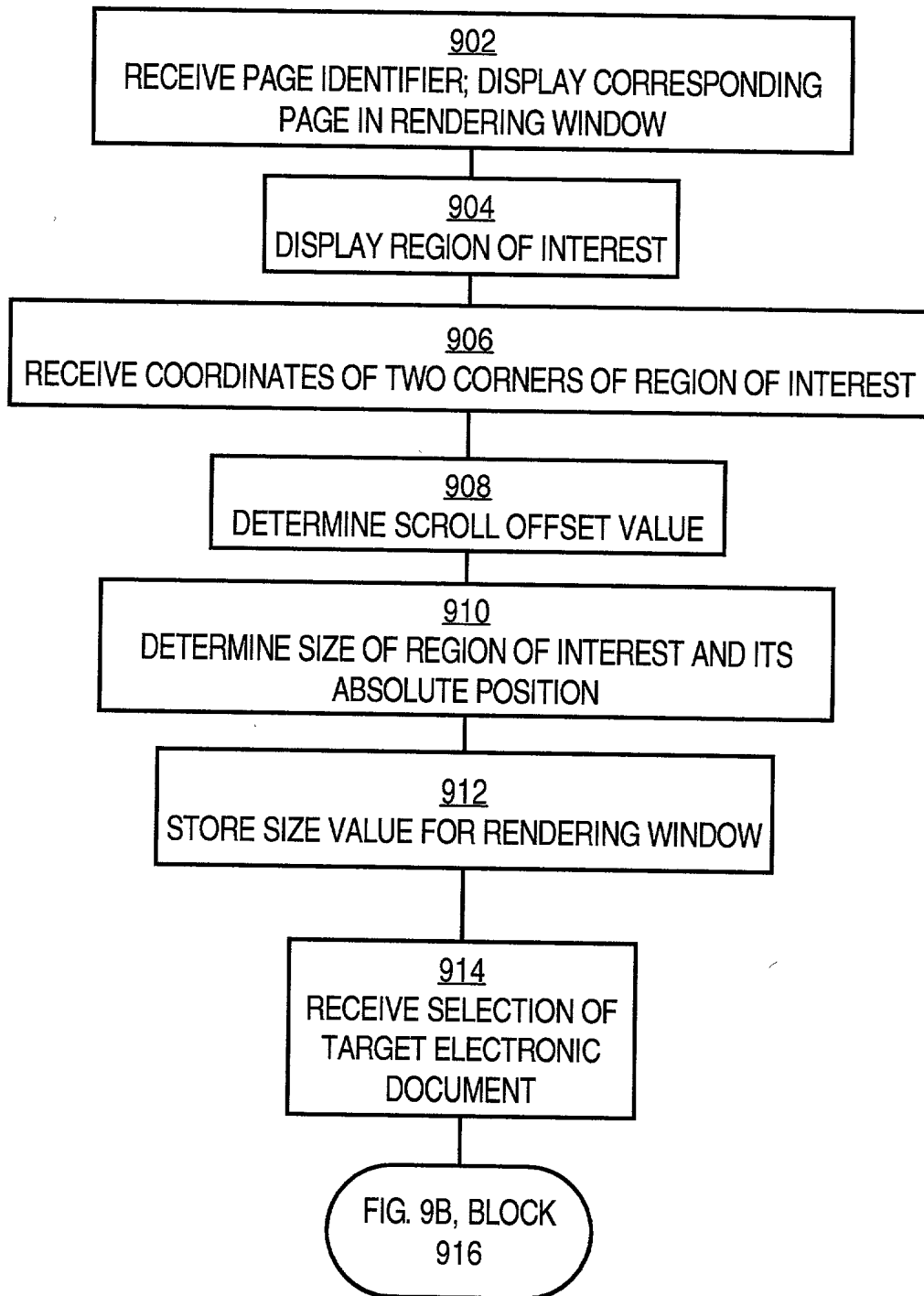


Fig. 9B

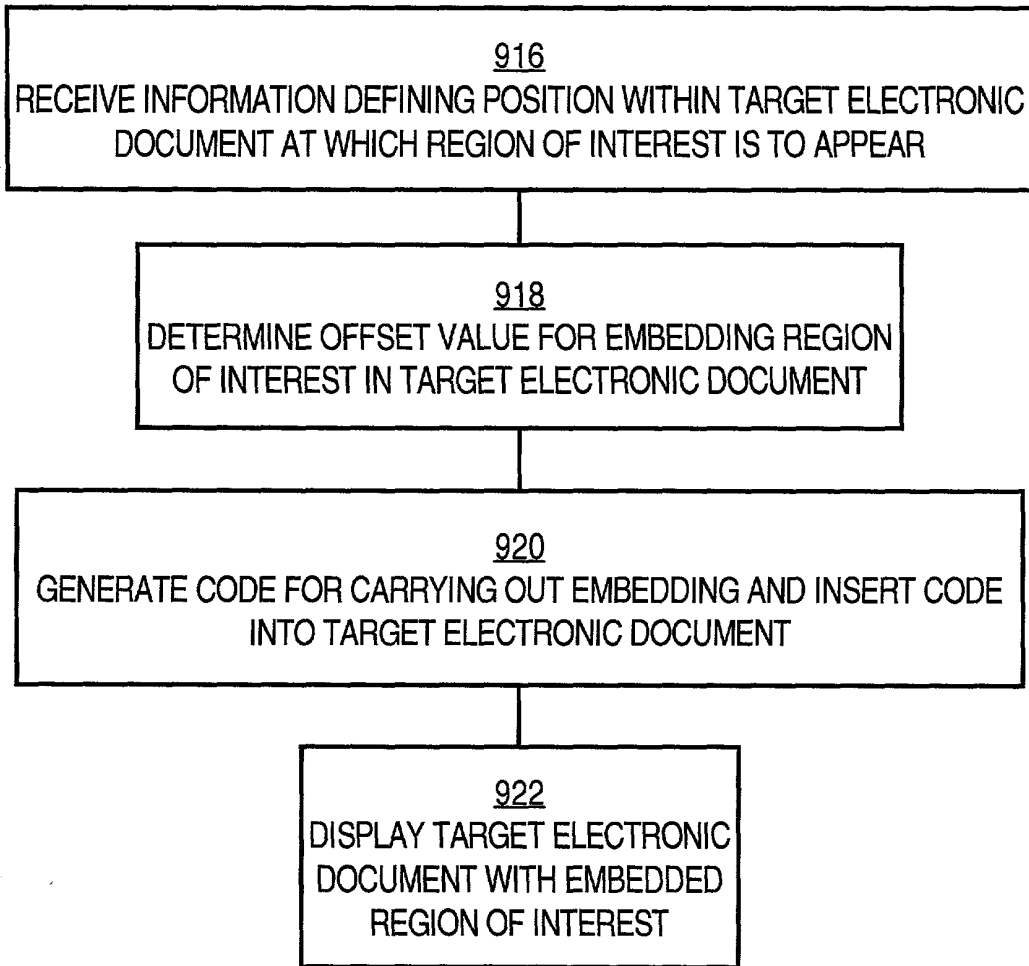


Fig. 9C

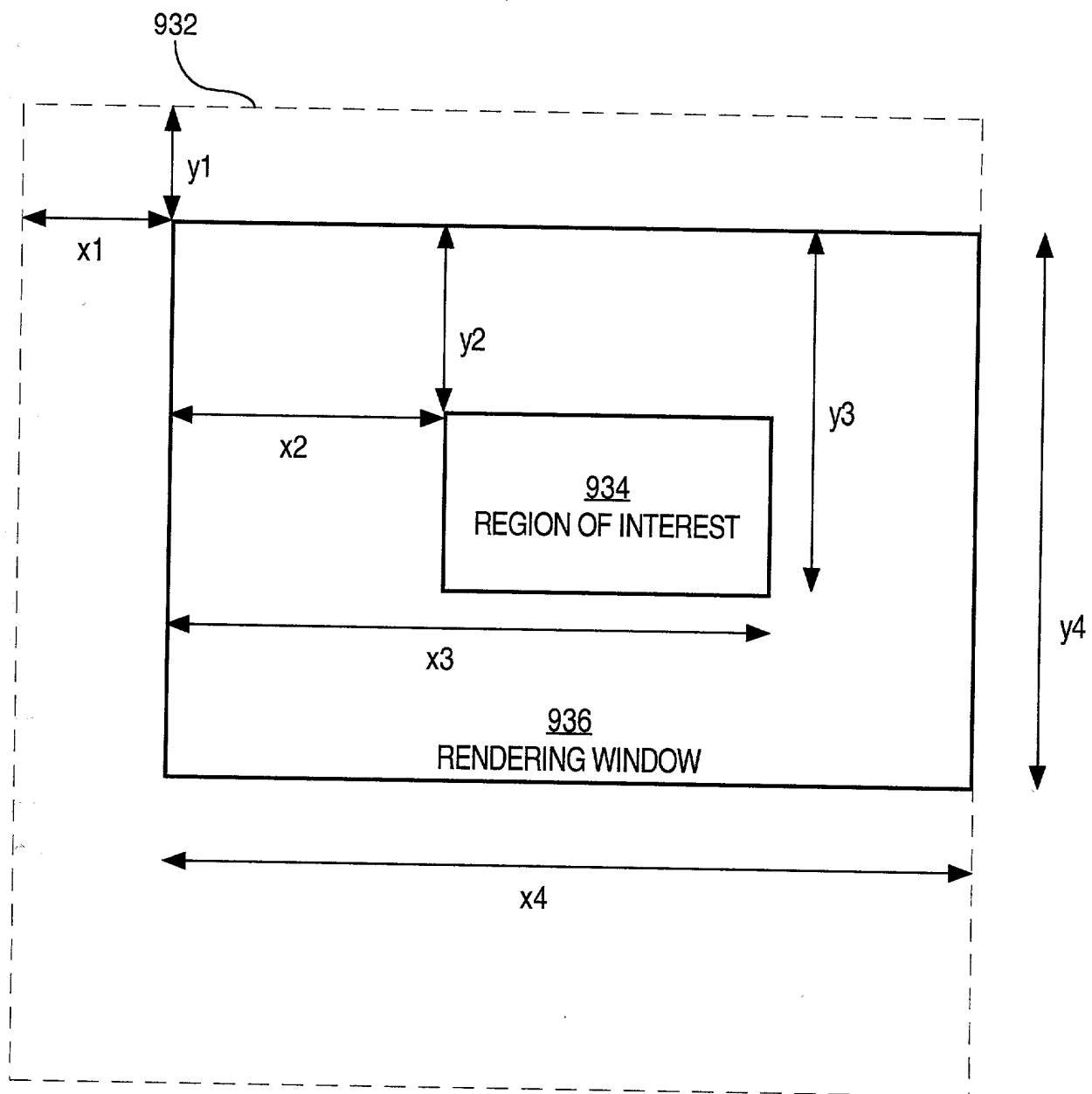


Fig. 9D

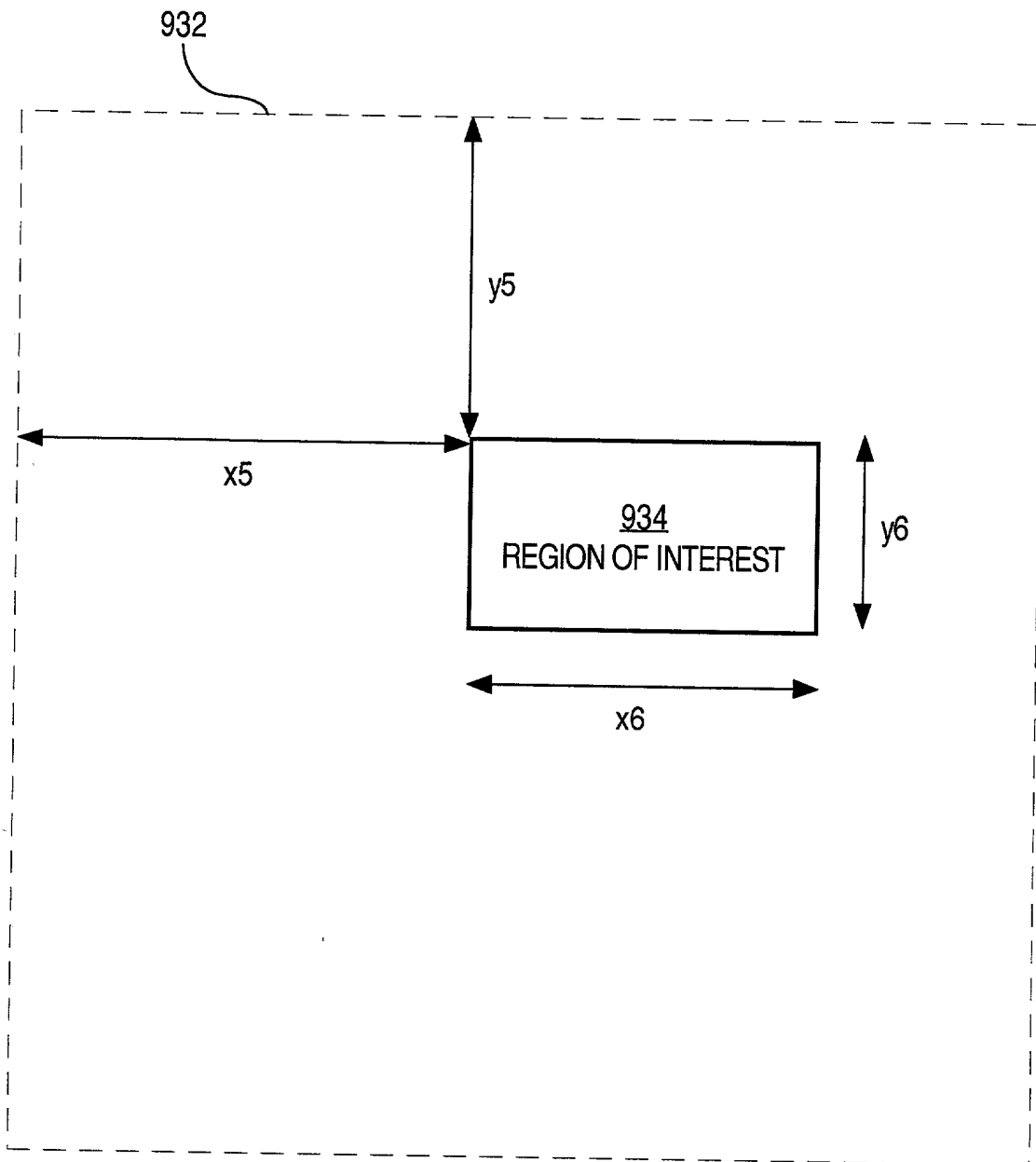


Fig. 9E

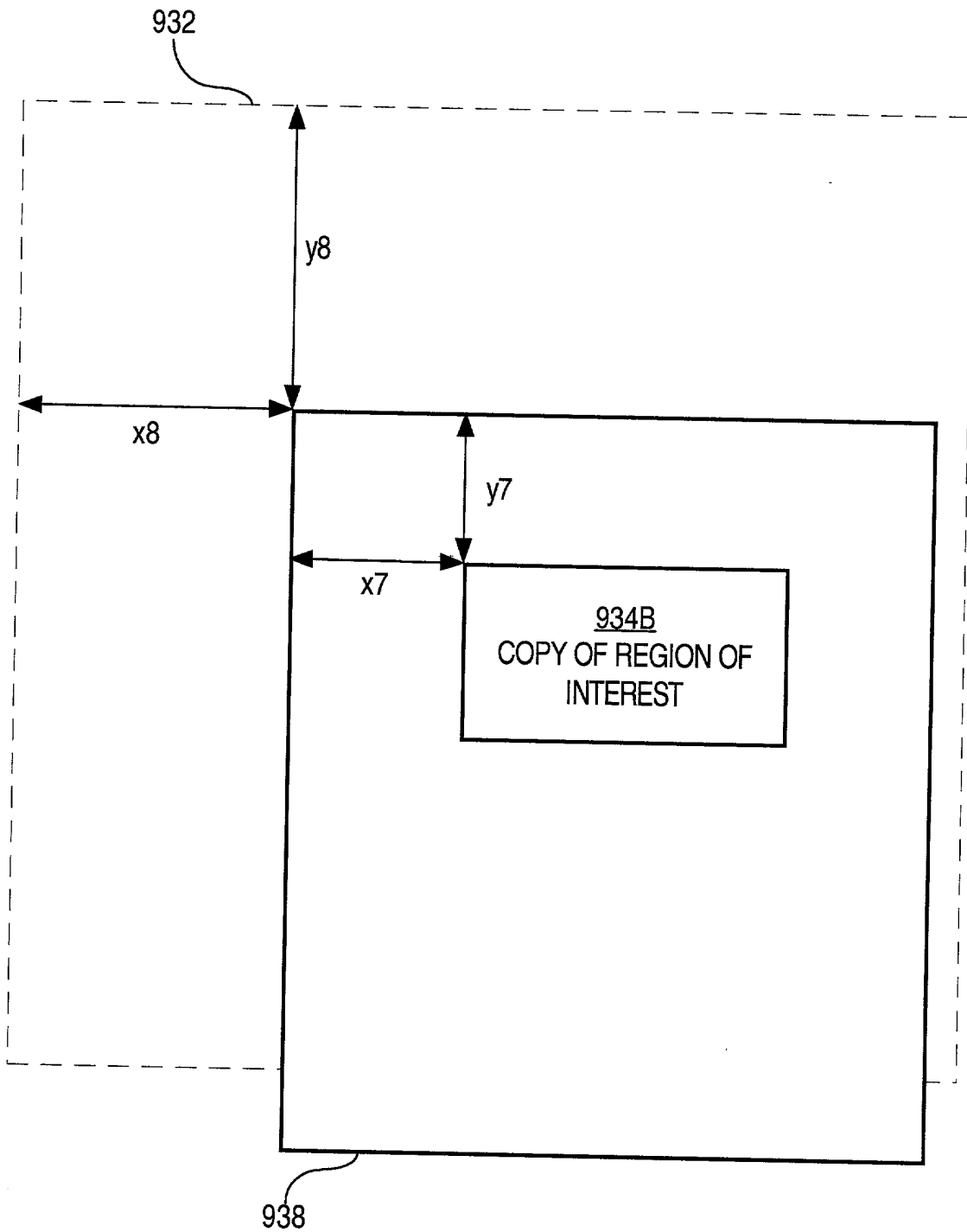


FIG. 10

